

# 连续发酵过程分数阶非线性时滞最优控制

纪 燕<sup>1</sup>, 翟金刚<sup>1</sup>, 冯恩民<sup>2</sup>

(1.鲁东大学 数学与统计科学学院,山东 烟台 264039;2.大连理工大学 数学科学学院,辽宁 大连 116024)

**摘要:**针对连续发酵甘油转化1,3-丙二醇(1,3-PD)的过程可能存在的时滞现象,考虑用分数阶时滞系统描述发酵过程,讨论系统状态关于参数的灵敏度。以甘油稀释速率和注入浓度为优化变量,以使灵敏度函数值较小为约束条件,以及使终端时刻1,3-PD浓度最大为性能指标,构建分数阶时滞系统最优控制模型。利用协态方法,得到性能指标和约束关于优化变量及参数的梯度,构造了基于序列二次规划(SQP)方法的优化算法。数值结果验证了优化策略的有效性。

**关键词:**分数阶导数;最优控制;时滞;连续发酵

**中图分类号:** O224 **文献标志码:** A **文章编号:** 1673-8020(2023)04-0352-08

分数阶系统可以表示许多机械和生物动力学行为<sup>[1-2]</sup>,如记忆功能、遗传特征、扩散和粘塑性<sup>[3-4]</sup>,在数学、工程等领域吸引了许多研究者的关注<sup>[5-6]</sup>。时滞系统出现在许多实际工程问题中<sup>[7-8]</sup>,能够更好地描述系统演化过程,根据一组给定实验数据估计未知的时滞是研究的关键问题之一<sup>[9-10]</sup>。相比整数阶最优控制,分数阶最优控制理论和应用起步较晚。Aghayan等<sup>[11]</sup>通过构建Lyapunov-Krasovskii(LK)函数,讨论了执行器饱和条件下分数阶时滞系统的稳定性。Chen等<sup>[12]</sup>基于Caputo导数提出了具有时滞系统的SEIR传染病模型,并讨论系统的分岔及病变时的平衡条件。Heydari等<sup>[13]</sup>研究HIV/AIDS与疟疾合并感染的变阶分数阶时滞系统的最优控制问题,并构造Grünwald-Letnikov非标准有限差分格式求解分数阶系统。Chen等<sup>[14]</sup>利用Dickson多项式处理分数阶时滞系统,采用直接轨迹优化方法求解问题。Hassani等<sup>[15]</sup>考虑癌症治疗模型的非线性分数阶最优控制,采用广义移位勒让德多项式逼近最优控制问题的数值解。

本文用分数阶时滞系统描述连续发酵甘油转化1,3-PD的过程。考虑到甘油稀释速率和注入浓度对系统参数可能存在影响,讨论了分数阶意义下系统状态关于参数的灵敏度;为提高目标产物,以甘油稀释速率和注入浓度为优化变量,以使终端时刻1,3-PD浓度最大为性能指标,使灵敏度函数值较小为约束条件,构建分数阶非线性时滞系统连续发酵最优控制模型;进一步给出性能指标和约束关于优化变量及参数的梯度公式,构造基于SQP方法的优化算法。经过数值计算得到的终端时刻目标产物高于已有研究结果,验证了本文所提优化策略的有效性。

## 1 预备知识

设  $I = [a, b]$  ( $-\infty \leq a < b < +\infty$ ) 为  $\mathbf{R}$  上的有限区间,  $f(t)$  ( $t \in I$ ) 为给定函数。

**定义 1** 给定  $\alpha > 0$ ,  $f$  在  $I$  上的 Riemann-Liouville 意义下的左、右分数阶积分分别表示为:

$${}_a I_t^\alpha f(t) = \frac{1}{\Gamma(\alpha)} \int_a^t (t-\tau)^{\alpha-1} f(\tau) d\tau, {}_t I_b^\alpha f(t) = \frac{1}{\Gamma(\alpha)} \int_t^b (\tau-t)^{\alpha-1} f(\tau) d\tau,$$

其中,  $\Gamma(\cdot)$  是  $\Gamma$  函数。

收稿日期:2022-04-20;修回日期:2023-03-07

基金项目:山东省自然科学基金(ZR2014FM029)

通信作者简介:翟金刚(1973—),男,教授,硕士研究生导师,博士,研究方向为运筹与优化。E-mail:zhaijingang@hotmail.com

定义2 给定  $\alpha > 0$ ,  $f$  在  $I$  上的 Riemann-Liouville 意义下的左、右分数阶积分分别表示为:

$${}_a D_t^\alpha f(t) = \frac{1}{\Gamma(n - \alpha)} \left( \frac{d}{dt} \right)^n \int_a^t (t - \tau)^{n-\alpha-1} f(\tau) d\tau,$$

$${}_t D_b^\alpha f(t) = \frac{(-1)^n}{\Gamma(n - \alpha)} \left( -\frac{d}{dt} \right)^n \int_t^b (\tau - t)^{n-\alpha-1} f(\tau) d\tau.$$

定义3 给定  $\alpha > 0$ ,  $f$  在  $I$  上的 Caputo 意义下的左、右分数阶积分分别表示为:

$${}_a^C D_t^\alpha f(t) = \frac{1}{\Gamma(n - \alpha)} \int_a^t (t - \tau)^{n-\alpha-1} f^{(n)}(\tau) d\tau,$$

$${}_t^C D_b^\alpha f(t) = \frac{(-1)^n}{\Gamma(\alpha)} \int_t^b (\tau - t)^{n-\alpha-1} f^{(n)}(\tau) d\tau,$$

其中,  $n = [\alpha] + 1$ ,  $[\alpha]$  是  $\alpha$  的整数部分。

性质1 令  $\alpha \in (0, 1)$ ,  $f, g \in C^1([a, b], \mathbf{R})$ , 则有:

$$\int_a^b g(t) \cdot ({}_a^C D_t^\alpha f(t)) dt = \int_a^b f(t) \cdot ({}_t D_b^\alpha g(t)) dt + ({}_a I_t^{1-\alpha} g(t)) \cdot f(t) \Big|_a^b,$$

$$\int_a^b g(t) \cdot ({}_t^C D_b^\alpha f(t)) dt = \int_a^b f(t) \cdot ({}_a D_t^\alpha g(t)) dt + ({}_a I_t^{1-\alpha} g(t)) \cdot f(t) \Big|_a^b.$$

## 2 连续发酵分数阶时滞系统

在连续发酵实验中,持续以恒定速率将底物注入到发酵罐中,同时以相同速率将反应物流出,发酵罐中的菌群细胞始终在一种细微的振荡环境中生长,各反应物浓度不仅与当前时刻的生物量浓度有关,还与之前某一时刻的生物量浓度有关,因此,模拟发酵过程中应考虑时滞现象。根据文献[16]的相关定理与性质,采用分数阶导数直接替代整数阶导数进行建模,构造如下分数阶时滞系统:

$$\begin{cases} {}_0^C D_t^{\alpha_1} x_1(t) = \mu x_1(t - \xi) - U x_1, \\ {}_0^C D_t^{\alpha_2} x_2(t) = U(C_{s0} - x_2) - q_2 x_1(t - \xi), t \in [0, T], \\ {}_0^C D_t^{\alpha_i} x_i(t) = q_i x_1(t - \xi) - U x_i, i = 3, 4, 5, \end{cases}$$

其中:  $x_1$  是生物量的质量浓度;  $x_2, x_3, x_4, x_5$  分别为甘油、1,3-PD、乙酸和乙醇的物质的量浓度;  $\xi$  是时滞量,  $T$  是终端时刻;  $U$  是甘油的流加速率(即稀释速率),  $C_{s0}$  是初始甘油浓度,根据实际发酵实验,  $U$  和  $C_{s0}$  在不同的实验条件下可取不同的实验值,  $[U, C_{s0}] \in U_c := [0.08, 0.5] \times [110.96, 1883] \in \mathbf{R}^2$ ; 细胞比生长速度  $\mu$ , 底物比消耗率  $q_2$  和产物比生成率  $q_i (i = 3, 4, 5)$  分别为<sup>[17]</sup>

$$\mu = \mu_m \frac{x_2}{x_2 + k_s} \prod_{i=2}^5 \left( 1 - \frac{x_i}{x_i^*} \right), q_2 = m_2 + \frac{\mu}{Y_2} + \Delta_2 \frac{x_2}{x_2 + K_2},$$

$$q_i = m_i + \mu Y_i + \Delta_i \frac{x_2}{x_2 + K_i}, i = 3, 4, 5.$$

令  $\mathbf{p} = (\mu_m, k_s, m_2, \dots, m_5, K_2, \dots, K_5, Y_2, \dots, Y_5, \Delta_2, \dots, \Delta_5)^T \in \mathbf{R}^{18}$  为参数向量。参考文献[17]的辨识结果,给定参数容许集合为

$$P = \{ (p_1, p_2, \dots, p_{18})^T \in \mathbf{R}^{18} : p_{j^*} \leq p_j \leq p_j^*, j = 1, 2, \dots, 18 \}.$$

由文献[17—18],取时滞量  $\xi = 0.26$ ,阶数  $\alpha_i \in (0, 1), i = 1, 2, \dots, 5$ 。阶数辨识结果见表1。

表1 阶数辨识结果<sup>[17]</sup>

Tab.1 The identified results for the orders

阶数	$\alpha_1$	$\alpha_2$	$\alpha_3$	$\alpha_4$	$\alpha_5$
结果	0.699 451	0.782 464	0.774 484	0.763 372	0.672 697

定义容许状态集为:

$$W_{ad} = \{ \mathbf{x} \in \mathbf{R}^5 \mid x_i \in [x_{i*}, x_i^*], i = 1, 2, \dots, 5 \},$$

其中,  $x_{i*}, x_i^*$  分别表示上限和下限。

令  $\mathbf{z} = (U, C_{so}, p) \in \mathbf{R}^{20}$ , 定义可行集为  $\kappa = \{ \mathbf{z} \in U_c \times P \mid \mathbf{x}(t; \mathbf{z}) \in W_{ad}, \forall t \in [0, T] \}$ , 则分数阶时滞系统可表示为

$$\begin{cases} {}_0^C D_t^\alpha \mathbf{x}(t) = \mathbf{f}(\mathbf{x}(t), \mathbf{x}_\xi(t), \mathbf{z}), t \in [0, T], \\ \mathbf{x}(0) = \mathbf{x}^0, \end{cases} \quad (1)$$

其中,  $\mathbf{x}^0 = (x_1^0, x_2^0, \dots, x_5^0)^T$  是给定的初始状态,  $\mathbf{x}_\xi(t) = \mathbf{x}(t - \xi)$ 。

根据已有研究结果,  $\mathbf{f}$  满足如下条件:

(a)  $\mathbf{f}$  关于  $\mathbf{x}, \mathbf{x}_\xi, \mathbf{z}$  是 Lipschitz 连续的;

(b) 存在常数  $K > 0$ , 使得  $\|\mathbf{f}(\mathbf{x}(t), \mathbf{x}_\xi(t), \mathbf{z})\| \leq K(1 + \|\mathbf{x}\| + \|\mathbf{x}_\xi\|)$ , 其中  $\|\cdot\|$  是 Euclidean 范数。

性质 2 对于任意的  $\mathbf{z} \in U_c \times P$ , 记分数阶系统(1) 的解为  $\mathbf{x}(t; \mathbf{z})$ , 满足

$$\mathbf{x}(t; \mathbf{z}) = \mathbf{x}_0 + \frac{1}{\Gamma(\alpha)} \int_0^t (t - \tau)^{\alpha-1} \mathbf{f}(\mathbf{x}(\tau), \mathbf{x}_\xi(\tau), \mathbf{z}) d\tau.$$

性质 3 任给  $\mathbf{z} \in U_c \times P$ , 分数阶系统(1) 的解  $\mathbf{x}(t; \mathbf{z})$  是一致有界的, 且关于  $\mathbf{z}$  连续。

### 3 分数阶时滞最优控制模型

#### 3.1 分数阶时滞最优控制问题

据已有研究结果显示, 在相同的实验条件下, 不同的甘油流加速率和注入浓度对系统参数会产生影响, 导致辨识结果产生较大的偏差。因此, 在优化  $U$  和  $C_{so}$  时, 需要考虑它们对系统参数的影响, 为此引入系统状态对参数的灵敏度。

定义  $\phi_j^i(t) = \frac{\partial x_i(t; \mathbf{z})}{\partial z_j}$  ( $i = 1, 2, \dots, 5, j = 3, 4, \dots, 20$ ), 满足如下辅助方程:

$$\begin{cases} {}_0^C D_t^\alpha \phi_j^i(t) = \left( \frac{\partial f_i(\mathbf{x}(t), \mathbf{x}_\xi(t), \mathbf{z})}{\partial \mathbf{x}} \right)^T \phi_j(t) + \left( \frac{\partial f_i(\mathbf{x}(t), \mathbf{x}_\xi(t), \mathbf{z})}{\partial \mathbf{x}(t - \xi)} \right)^T \frac{\partial \mathbf{x}(t - \xi)}{\partial z_j} + \\ \frac{\partial f_i(\mathbf{x}(t), \mathbf{x}_\xi(t), \mathbf{z})}{\partial z_j}, t \in [0, T], \\ \phi_j^i(0) = 0, \end{cases} \quad (2)$$

由文献[17], 灵敏度函数  $\frac{\partial x_i(t; \mathbf{z})}{\partial z_j}$  存在且连续,  $\mathbf{x}$  关于  $\mathbf{z}$  的二阶偏导数满足:

$${}_0^C D_t^\alpha \left( \frac{\partial^2 x_i}{\partial z_j \partial z_s} \right) = \left( \frac{\partial f_i}{\partial \mathbf{x}} \right)^T \frac{\partial^2 \mathbf{x}}{\partial z_j \partial z_s} + \frac{\partial}{\partial z_s} \left( \frac{\partial f_i}{\partial \mathbf{x}} \right)^T \frac{\partial \mathbf{x}}{\partial z_j} + \left( \frac{\partial f_i}{\partial \mathbf{x}_\xi} \right)^T \frac{\partial^2 \mathbf{x}_\xi}{\partial z_j \partial z_s} + \frac{\partial}{\partial z_s} \left( \frac{\partial f_i}{\partial \mathbf{x}_\xi} \right)^T \frac{\partial \mathbf{x}_\xi}{\partial z_j} + \frac{\partial^2 f_i}{\partial z_j \partial z_s}, \quad (3)$$

且  $\left. \frac{\partial^2 x_i}{\partial z_j \partial z_s} \right|_{t=0} = 0$ 。因此, 为最大化目标产物, 建立如下分数阶时滞系统最优控制问题:

$$\text{问题(P1): } \begin{cases} \min J(\mathbf{z}) = -x_3(T), \\ \text{s.t. } \left\| \frac{\partial x_i(T; \mathbf{z})}{\partial z_j} \right\| \leq \varepsilon, \mathbf{z} \in U_c \times P, \varepsilon \text{ 是充分小的常数}, i = 1, 2, \dots, 5, j = 3, 4, \dots, 20. \end{cases}$$

定理 1 问题(P1) 存在一个最优解  $\mathbf{z}^* \in U_c \times P$ , 使得  $J(\mathbf{z}^*) \leq J(\mathbf{z}), \forall \mathbf{z} \in U_c \times P$ 。

证明 由性质 3, 分数阶时滞系统(1) 的解关于  $\mathbf{z}$  连续, 因此, 性能指标  $J(\mathbf{z})$  在  $U_c \times P$  上连续; 又由于  $\kappa$  是非空紧集, 由连续函数的性质, 问题(P1) 存在最优解。

### 3.2 状态约束近似转化

为显式表达状态约束,令

$$\begin{cases} g_i(\mathbf{x}(t|\mathbf{z})) : = x_i(t|\mathbf{z}) - x_i^* \leq 0, \\ g_{i+5}(\mathbf{x}(t|\mathbf{z})) : = x_{i^*} - x_i(t|\mathbf{z}) \leq 0, i = 1, 2, \dots, 5, \end{cases} \quad (4)$$

约束(4)等价于

$$G(\mathbf{z}) : = \sum_{i=1}^{10} \int_0^T \max \{0, g_i(\mathbf{x}(t|\mathbf{z}))\} dt = 0. \quad (5)$$

由于约束(5)不满足常规约束规范,下面使用近似平滑技术<sup>[19]</sup>进行处理。定义

$$\tilde{g}_{\varepsilon,i}(\mathbf{x}(t|\mathbf{z})) = \begin{cases} 0, & g_i(\mathbf{x}(t|\mathbf{z})) < -\varepsilon, \\ \frac{(g_i(\mathbf{x}(t|\mathbf{z})) + \varepsilon)^2}{4\varepsilon}, & -\varepsilon \leq g_i(\mathbf{x}(t|\mathbf{z})) \leq \varepsilon, \\ g_i(\mathbf{x}(t|\mathbf{z})), & g_i(\mathbf{x}(t|\mathbf{z})) > \varepsilon, \end{cases}$$

其中,  $\varepsilon > 0$  是足够小的常数。则约束(5)可以近似表示为

$$G_{\varepsilon,\gamma}(\mathbf{z}) : = \sum_{i=1}^{10} \int_0^T \tilde{g}_{\varepsilon,i}(\mathbf{x}(t|\mathbf{z})) dt - \gamma \leq 0,$$

其中,  $\gamma > 0$  是可调参数。从而问题(P1)可近似转化为下面问题:

$$\text{问题(P2)} : \begin{cases} \min J(\mathbf{z}) = -x_3(T), \\ \text{s.t. } W_{ij}(\mathbf{z}) = \left\| \frac{\partial x_i(T|\mathbf{z})}{\partial z_j} \right\| - \varepsilon \leq 0, i = 1, 2, \dots, 5, j = 3, 4, \dots, 20, \\ G_{\varepsilon,\gamma}(\mathbf{z}) \leq 0, \mathbf{z} \in U_c \times P. \end{cases}$$

性质4 问题(P1)的可行解也是问题(P2)的可行解。

证明过程详见文献[20]。

## 4 优化算法

### 4.1 梯度公式

为利用基于梯度的优化方法,下面将讨论性能指标及约束关于优化变量  $\mathbf{z}$  的梯度。

定义 Hamiltonian 函数  $H_w$  和  $\tilde{H}_w$  为:

$$H_w(\mathbf{x}(t), \mathbf{x}_\xi(t), \mathbf{z}, \boldsymbol{\lambda}_w(t)) = \boldsymbol{\lambda}_w^T(t) \mathbf{f}(\mathbf{x}(t), \mathbf{x}_\xi(t), \mathbf{z}),$$

$$\tilde{H}_w(\mathbf{x}(t + \xi), \mathbf{x}_\xi(t), \mathbf{z}, \tilde{\boldsymbol{\lambda}}_w(t)) = \tilde{\boldsymbol{\lambda}}_w^T(t) \mathbf{f}(\mathbf{x}(t + \xi), \mathbf{x}_\xi(t), \mathbf{z}) e^{(T-t-\xi)},$$

其中,  $\boldsymbol{\lambda}_w(\cdot)$  和  $\tilde{\boldsymbol{\lambda}}_w(\cdot)$  分别是  $H_w(\cdot)$  和  $\tilde{H}_w(\cdot)$  的协态,且  $\tilde{\boldsymbol{\lambda}}_w(t) = \boldsymbol{\lambda}_w(t + \xi)$ ,  $e(\cdot)$  是单位阶跃函数。下面将约束  $W_{ij}(\mathbf{z})$  整合为一个函数  $W(\mathbf{z})$ , 并转化为如下形式:

$$W(\mathbf{z}) = \sum_{i=1}^5 \sum_{j=3}^{20} \left\| \frac{\partial x_i(T|\mathbf{z})}{\partial z_j} \right\| + \int_0^T [H_w(\mathbf{x}(t), \mathbf{x}_\xi(t), \mathbf{z}, \boldsymbol{\lambda}_w(t)) - \boldsymbol{\lambda}_w^T(t) \mathbf{f}(\mathbf{x}(t), \mathbf{x}_\xi(t), \mathbf{z})] dt. \quad (6)$$

由链式法则,可得

$$\frac{\partial W(\mathbf{z})}{\partial \mathbf{z}} = \sum_{i=1}^5 \sum_{j=3}^{20} \frac{\partial}{\partial \mathbf{z}} \left( \left\| \frac{\partial x_i(T|\mathbf{z})}{\partial z_j} \right\| \right) + \int_0^T [\Delta H_w(\mathbf{x}(t), \mathbf{x}_\xi(t), \mathbf{z}, \boldsymbol{\lambda}_w(t)) - \boldsymbol{\lambda}_w^T(t) ({}^C D_t^\alpha \Delta \mathbf{x}(t))] dt, \quad (7)$$

其中,

$$\Delta H_w(\mathbf{x}(t), \mathbf{x}_\xi(t), \mathbf{z}, \boldsymbol{\lambda}_w(t)) = \frac{\partial H_w}{\partial \mathbf{x}} \Delta \mathbf{x}(t) + \frac{\partial H_w}{\partial \mathbf{x}(t-\xi)} \Delta \mathbf{x}(t-\xi) + \frac{\partial H_w}{\partial \mathbf{z}}, \Delta \mathbf{x}(t) = \frac{\partial \mathbf{x}(t|\mathbf{z})}{\partial \mathbf{z}}.$$

选择适当  $\boldsymbol{\lambda}_w(t)$  满足下列协态方程:

$$\begin{cases} {}_t D_T^\alpha \boldsymbol{\lambda}_w^T(t) = \frac{\partial H_w(\mathbf{x}(t|\mathbf{z}), \mathbf{x}_\xi(t|\mathbf{z}), \mathbf{z}, \boldsymbol{\lambda}_w(t))}{\partial \mathbf{x}} + \frac{\partial \tilde{H}_w(\mathbf{x}(t+\xi|\mathbf{z}), \mathbf{x}_\xi(t|\mathbf{z}), \mathbf{z}, \tilde{\boldsymbol{\lambda}}_w(t))}{\partial \mathbf{x}}, \\ {}_t I_T^{1-\alpha} \boldsymbol{\lambda}_w^T(t) \Big|_{t=T} = \sum_{i=1}^5 \sum_{j=3}^{20} \frac{\partial}{\partial \mathbf{z}} \left( \left\| \frac{\partial x_i(T|\mathbf{z})}{\partial z_j} \right\| \right). \end{cases} \quad (8)$$

由  $H_w$  和  $\tilde{H}_w$  的定义, 可得

$$\int_0^T \frac{\partial H_w(\mathbf{x}(t), \mathbf{x}_\xi(t), \mathbf{z}, \boldsymbol{\lambda}_w(t))}{\partial \mathbf{x}(t-\xi)} \Delta \mathbf{x}(t-\xi) dt = \int_0^T \frac{\partial \tilde{H}_w(\mathbf{x}(t+\xi), \mathbf{x}_\xi(t), \mathbf{z}, \tilde{\boldsymbol{\lambda}}_w(t))}{\partial \mathbf{x}} \Delta \mathbf{x} dt, \quad (9)$$

由分数阶分部积分公式, 可得

$$\int_0^T \boldsymbol{\lambda}_w^T(t) {}_0^C D_t^\alpha \Delta \mathbf{x}(t) dt = \int_0^T \Delta \mathbf{x}(t) ({}_t D_T^\alpha \boldsymbol{\lambda}_w(t))^T dt + {}_t I_T^{1-\alpha} \boldsymbol{\lambda}_w^T(t) \Delta \mathbf{x} \Big|_0^T, \quad (10)$$

将式(8)~(10)代入式(7)中, 且由于  $\Delta \mathbf{x}(0) = \mathbf{0}$ , 可得

$$\frac{\partial W(\mathbf{z})}{\partial \mathbf{z}} = \int_0^T \frac{\partial H_w(\mathbf{x}(t), \mathbf{x}_\xi(t), \mathbf{z}, \boldsymbol{\lambda}_w(t))}{\partial \mathbf{z}} dt. \quad (11)$$

同理, 选取适合协态  $\boldsymbol{\lambda}(t)$  和  $\boldsymbol{\lambda}_w(t)$ , 类似得到性能指标  $J(\mathbf{z})$  和约束函数  $G_{\varepsilon, \gamma}$  关于  $\mathbf{z}$  的梯度, 其中:

$$\frac{\partial J(\mathbf{z})}{\partial \mathbf{z}} = \int_0^T \frac{\partial H_w(\mathbf{x}(t), \mathbf{x}_\xi(t), \mathbf{z}, \boldsymbol{\lambda}_w(t))}{\partial \mathbf{z}} dt, \quad (12)$$

$$\frac{\partial G_{\varepsilon, \gamma}(\mathbf{z})}{\partial \mathbf{z}} = \int_0^T \frac{\partial \tilde{H}_w(\mathbf{x}(t), \mathbf{x}_\xi(t), \mathbf{z}, \boldsymbol{\lambda}_w(t))}{\partial \mathbf{z}} dt. \quad (13)$$

## 4.2 数值算法

利用 4.1 节的梯度公式, 下面构造一个基于 SQP 方法的优化算法, 具体步骤如下:

1) 给定参数  $\mathbf{z} \in U_c \times P$ ,  $\varepsilon > 0$ ,  $\gamma > 0$  的初值, 且设定  $\bar{\varepsilon}, \bar{\gamma}$  为参数  $\varepsilon, \gamma$  的临界值,  $\beta_1, \beta_2 \in (0, 1)$  为比例折减系数。

2) 利用 G-L 方法<sup>[21]</sup> 以及分数阶短存储原理<sup>[22]</sup> 计算式(1)~(3)、(10), 得到状态方程、灵敏度函数  $\frac{\partial x_i(t|\mathbf{z})}{\partial z_j}$  和  $\frac{\partial^2 x_i}{\partial z_j \partial z_s}$  对应的协态方程的数值解; 进一步应用式(11)~(13) 分别计算性能指标、约束关于  $\mathbf{z}$  的梯度。

3) 采用 SQP 方法求解最优参数  $\mathbf{z}$ 。若不符合 SQP 停机准则, 可转至步骤 2); 否则, 直接输出最优解  $\mathbf{z}^{\varepsilon, \gamma^*}$ 。

4) 检查  $G(\mathbf{z}^{\varepsilon, \gamma^*}) = 0$  的可行性。若  $G(\mathbf{z}^{\varepsilon, \gamma^*}) = 0$  可行, 转步骤 5); 若  $G(\mathbf{z}^{\varepsilon, \gamma^*}) = 0$  不可行, 令  $\gamma := \beta_1 \gamma$ 。若  $\gamma \leq \bar{\gamma}$ , 得到了异常解; 否则, 转步骤 2)。

5) 令  $\varepsilon := \beta_2 \varepsilon, \gamma := \beta_2 \gamma$ 。若  $\varepsilon \leq \bar{\varepsilon}$ , 转步骤 2); 否则输出  $\mathbf{z}^* = \mathbf{z}^{\varepsilon, \gamma^*}$ , 即得到最优解  $J(\mathbf{z}^*)$  及  $\mathbf{z}^*$ 。

## 5 数值结果

依据发酵实验原理进行操作, 给定初值条件为  $\mathbf{x}^0 = (0.405, 440.8578, 0, 0, 0)^T$ , 发酵终止时间  $T = 70$  h。应用算法数值求解时, 选取步长为  $1/3600$ , 利用分数阶短存储原理得到节点数  $n = 600$ , 且 SQP 粒子数为 288, 其他参数取值详见表 2。以 C++ 为编程语言, 在并行机上完成了 8 次数值试验, 平均耗时 5 h/次, 试验得到优化的甘油流速率为 0.08, 优化的甘油初始浓度为  $703.371 \text{ mmol} \cdot \text{L}^{-1}$ , 并由此得到终端时刻 1,3-PD 浓度为  $772.843 \text{ mmol} \cdot \text{L}^{-1}$ 。最优参数的辨识结果详见表 3, 反应器中的各物质随时间变化曲线详见图 1、2。相比文献[23]的最大浓度  $710.1 \text{ mmol} \cdot \text{L}^{-1}$ , 本文的结果优于文献[23]。由图 1、2 可以看出, 发酵初期各物质浓度比较震荡, 后期趋于稳定, 与实际发酵过程比较吻合, 显示了数值模拟结果的可参考性。

表2 参数取值  
Tab.2 Parameters values

参数	$\bar{\varepsilon}$	$\bar{\gamma}$	$\beta_1$	$\beta_2$	$M_{sup}$	$M_{iter}$	$w_{max}$	$w_{min}$	$c_1$	$c_2$
取值	$1.0 \times 10^{-8}$	$1.0 \times 10^{-7}$	0.5	0.1	$5 \times 10^7$	300	0.9	0.4	2.0	2.0

表3 参数辨识结果

Tab.3 The identified results for the parameters

参数	$\mu_m$	$k_s$	$m_2$	$Y_2$	$\Delta_2$	$K_2$	$m_3$	$Y_3$	$\Delta_3$
结果	0.704 814	0.350 162	1.226 5	0.012 012 8	27.417 8	12.987 8	-2.896 99	87.863 3	31.156 5
参数	$K_3$	$m_4$	$Y_4$	$\Delta_4$	$K_4$	$m_5$	$Y_5$	$\Delta_5$	$K_5$
结果	22.365 8	-0.865 612	18.423 1	8.079 09	72.000 9	6.446 31	16.474 9	0.333 15	-0.068 669 6

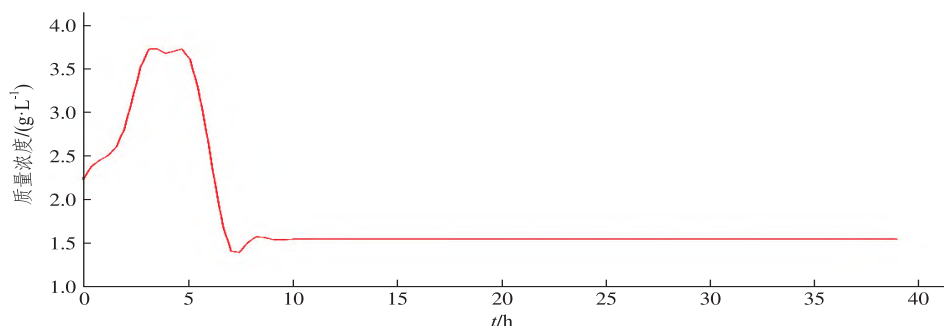
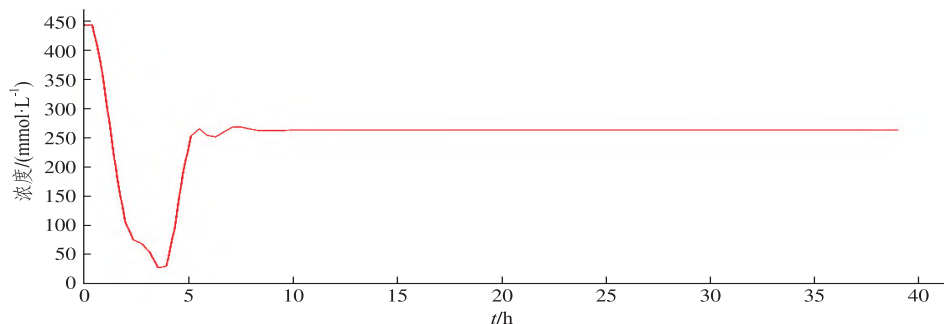
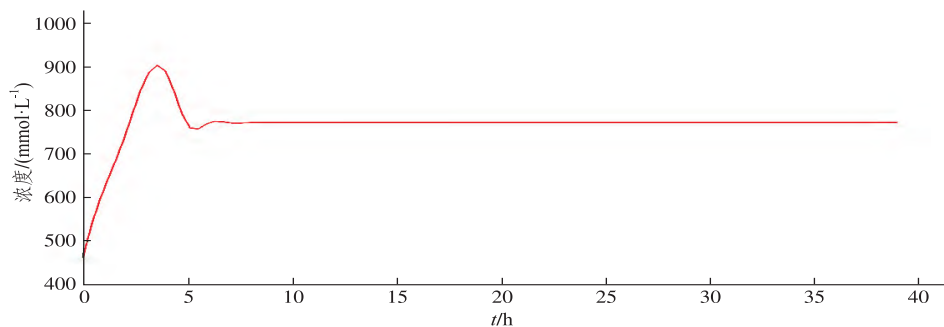


图1 生物量的质量浓度变化曲线

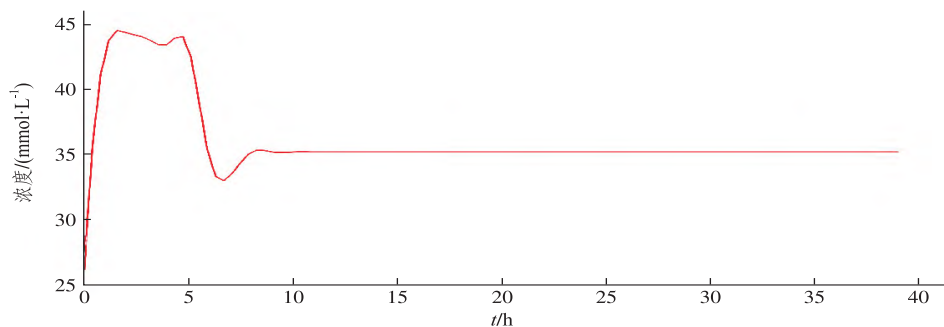
Fig.1 The curve of mass concentration of biomass



(a) 胞外甘油



(b) 1,3-PD



(c) 乙酸



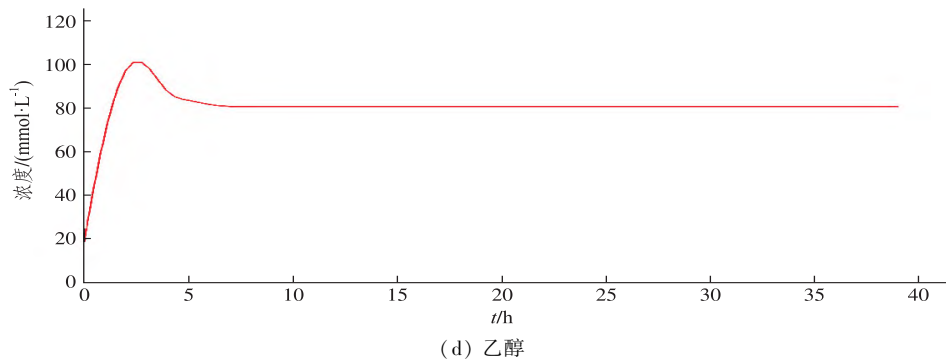


图 2 各物质的浓度变化曲线

Fig.2 The curves of the concentration of each substance

## 6 结论

本文针对微生物连续发酵生产 1,3-PD 过程,通过引入分数阶微积分思想,建立新的分数阶非线性时滞系统模型。为使终端时刻 1,3-PD 浓度最大,以参数的灵敏度函数为约束,以甘油的流加速率和初始注入浓度为控制变量,构造了连续发酵分数阶时滞系统的最优控制模型,并利用 SQP 算法,通过优化计算得到最优流加策略,为实际发酵过程提供参考。

### 参考文献:

- [1] FREED A D, DIETHELM K. Fractional calculus in biomechanics: a 3D viscoelastic model using regularized fractional derivative kernels with application to the human calcaneal fat pad[J]. *Biomech Model Mechanobiol*, 2006, 5(4): 203–215.
- [2] SHITIKOVA R M V. Application of fractional calculus for dynamic problems of solid mechanics: novel trends and recent results[J]. *Applied Mechanics Reviews*, 2010, 63(1): 1–52.
- [3] MAINARDI F. Fractional calculus and waves in linear viscoelasticity (an introduction to mathematical models) waves in linear viscoelastic media: asymptotic representations[J]. Imperial College Press, 2010, 1142(614): 109–135.
- [4] AHMADIAN A, ISMAIL F, SALAHSHOUR S. Uncertain viscoelastic models with fractional order: a new spectral tau method to study the numerical simulations of the solution[J]. *Communications in Nonlinear Science and Numerical Simulation*, 2017, 53: 44–64.
- [5] IONESCU C, LOPES A, COPOT D. The role of fractional calculus in modelling biological phenomena: a review[J]. *Communications in Nonlinear Science & Numerical Simulation*, 2017, 51: 141–159.
- [6] AGARWAL R P, BALEANU B, NIETO J J, et al. A survey on fuzzy fractional differential and optimal control nonlocal evolution equations[J]. *Journal of Computational and Applied Mathematics*, 2018, 339(1): 3–29.
- [7] GAO C, LIU X, YANG Y H, et al. Event-triggered finite-time adaptive neural control for nonlinear non-strict-feedback time-delay systems with disturbances[J]. *Information Sciences*, 2020, 536: 1–24.
- [8] CHENG Y Y, HUO L A, ZHAO L J. Dynamical behaviors and control measures of rumor-spreading model in consideration of the infected media and time delay[J]. *Information Sciences*, 2021, 564(3): 237–253.
- [9] GÖLLMANN L, KERN D, MAURER H. Optimal control problems with delays in state and control variables subject to mixed control-state constraints[J]. *Optimal Control Applications & Methods*, 2010, 30(4): 341–365.
- [10] WANG L Y, GUI W H, TEO K L, et al. Optimal control problems arising in the zinc sulphate electrolyte purification process [J]. *Journal of Global Optimization*, 2012, 54(2): 307–323.
- [11] AGHAYAN Z S, ALFI A, MACHADO J. Stability analysis of uncertain fractional-order neutral-type delay systems with actuator saturation[J]. *Frontiers of Information Technology Electronic Engineering*, 2021, 22(10): 1402–1413.
- [12] CHEN Y, ZHOU B, SONG Q K. The passivity of fractional delay complex neural networks with uncertainty[J]. *Applied Mathematics and Mechanics*, 2021, 42(5): 492–499.
- [13] HEYDARI M H, RAZZAGHI M. Piecewise Chebyshev cardinal functions: application for constrained fractional optimal control problems[J]. *Chaos Solitons & Fractals*, 2021, 150(1): 111–118.

- [14] CHEN S B, SORADI-ZEID S, ALIPOUR M, et al. Optimal control of nonlinear time-delay fractional differential equations with Dickson polynomials[J]. *Fractals*, 2021, 29(4): 1–16.
- [15] HASSANI H, MACHADO J A T, MEHRABI S. An optimization technique for solving a class of nonlinear fractional optimal control problems: application in cancer treatment[J]. *Applied Mathematical Modelling*, 2021, 93(3): 868–884.
- [16] TEO K L, ENNINGS L S, LEE H, et al. The control parameterization enhancing transform for constrained optimal control problems[J]. *The Anziam Journal*, 1999, 40(3): 314–335.
- [17] WANG D N, ZHAI J G, FENG E M. Fractional order modeling and parameter identification for a class of continuous fermentation[J]. *Journal of System Science and Mathematical Science*, 2020, 40(9): 1517–1530.
- [18] 孙菁. 微生物连续发酵非线性动力系统的最优控制[D]. 大连: 大连理工大学, 2018.
- [19] DUMITRU B, KAI S, ENRICO S, et al. Fractional calculus models and numerical methods[M]. Singapore: World Scientific, 2016.
- [20] TEO K L, GOH C J, WONG K H. A unified computational approach to optimal control problems[M]. Harlow Essex: Longman Scientific and Technical, 1991.
- [21] SALATI A B, SHAMSI M, DELFIM F M. Direct transcription methods based on fractional integral approximation formulas for solving nonlinear fractional optimal control problems[J]. *Communications in Nonlinear Science Numerical Simulation*, 2018, 67(2019): 334–350.
- [22] DENG W H. Short memory principle and a predictor-corrector approach for fractional differential equations[J]. *Journal of Computational and Applied Mathematics*, 2007, 206(1): 174–188.
- [23] ZHAI J G, JIANG G M, YE J X. Optimal dilution strategy for a microbial continuous culture based on the biological robustness[J]. *Numerical Algebra, Control and Optimization*, 2015, 5(1): 59–69.

## Optimal Control of Fractional Nonlinear Time-delay System in Continuous Fermentation Process

JI Yan<sup>1</sup>, ZHAI Jingang<sup>1</sup>, FENG Enmin<sup>2</sup>

(1. School of Mathematics and Statistics Science, Ludong University, Yantai 264039, China;

2. School of Mathematical Science, Dalian University of Technology, Dalian 116024, China)

**Abstract:** Considering that there may be a time-delay in the conversion of glycerol to 1,3-propanediol (1,3-PD) in continuous culture, a fractional order time-delay system is considered to describe the fermentation process, and the sensitivity of system states with respect to the parameters is discussed. The optimal control model of the fractional time-delay system for the continuous fermentation was formulated with a small sensitivity as the constraint, the glycerol dilution rate and feeding concentration as the optimization variable, and the maximum concentration of 1,3-PD at the terminal time as the performance index. By using the co-state method, the gradients of performance index and constraints with respect to optimization variables and parameters were obtained, and an optimization algorithm based on sequential quadratic programming (SQP) method was constructed. Finally, the numerical results were used to verify the effectiveness of the optimization strategies.

**Keywords:** fractional derivative; optimal control; time-delay; continuous fermentation

(责任编辑 顾建忠)